

وزارت علوم، تحقیقات و فناوری

دانشگاه امام خمینی



IMAM KHOMEINI
INTERNATIONAL UNIVERSITY

دانشکده فنی و مهندسی

گروه مهندسی مواد و متالورژی

بررسی اندرکنش فیلمهای اکسیدی دوگانه محبوس و ترکیبات بین فلزی غنی از آهن و تأثیر آن بر رفتار تریبولوژیک آلیاژهای هیپویوتکتیک Al-Si

پایان نامه برای دریافت درجه کارشناسی ارشد

در رشته مهندسی مواد و متالورژی گرایش شناسایی و انتخاب مواد مهندسی

نوشین اکابری

استاد راهنما:

دکتر رضا تقی آبادی

استاد مشاور:

دکتر احمد رزاقیان آرانی

بهمن ۱۳۹۲

بِسْمِ اللّٰهِ الرَّحْمٰنِ الرَّحِيْمِ

تقدیم به پدر، مادر و

خواهر عزیزم

تقدیر و تشکر

در ابتدا لازم می دانم که از زحمات استاد راهنمای گرامی جناب آقای دکتر رضا تقی آبادی و همچنین استاد مشاور جناب آقای دکتر احمد رزا قیان که با راهنمایی هایشان مرا در انجام هر چه بهتر پروژه یاری رساندند تشکر و قدردانی نمایم. همچنین از سرکار خانم مهندس نظری، سرکار خانم مهندس چادریاف و سرکار خانم مهندس عسگری مسئولین محترم آزمایشگاه تشکر می نمایم.

ی دفاع از پایان نامه / رساله



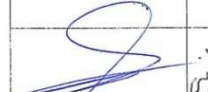
دانشگاه بین المللی امام خمینی (ره)

معاونت آموزشی - مدیریت تحصیلات تکمیلی

فرم تاییدیه‌ی هیأت داوران جلسه‌ی دفاع از پایان‌نامه/رساله (فرم شماره ۳۰)

درجه ...^{نماین} مورد تایید هیئت داوران قرار گرفت.

..... بدین وسیله گواهی میشود جلسه دفاعیه از پایان نامه کارشناسی ارشد/رساله دکتری
 حاصل شده ایشان اثاب پذیر است. داشجیوی رشته ... درجه گرایش ...^{نماین} و آنها پذیرا بر
 تحت عنوان ... درجه امتحان شده اند. همان مدتی که ... درجه درجه^{نماین} ...^{نماین} ...^{نماین} ...^{نماین} در
 تاریخ ۱۳۹۷/۱/۱۱ در دانشگاه برگزار گردید و این پایان نامه ارساله با نمره به عدد ... درجه و به حروف ... درجه با

ردیف	سمت	نام و نام خانوادگی	مرتبه دانشگاهی	دانشگاه یا مؤسسه	امضا
۱	داور داخلی	دکتر محمد رضا فروزانی	استادیار	بین المللی فنون	
۲	استاد راهنمایی	دکتر رضا نعیم آبارک	استادیار	~	
۳	اسفار معاون	دکتر احمد رأفتیان	دانشیا	~	
۴	دانشیا	دکتر فریده حامدی	استادیار	دانشگاه فرهنگی و هنری	
۵					

*** در صورت وجود استاد راهنمای دوم برای پایان نامه/رساله، یک ردیف با عنوان استاد راهنمای دوم، ذیل ردیف استاد راهنمای اضافه شود.

تذکر: این برگه پس از تکمیل توسط هیات داوران، در پایان نامه/رساله درج می‌گردد.



تعهدنامه اصالت اثر

اینجانب نوشین اکابری دانش آموخته مقطع کارشناسی ارشد در رشته مهندسی مواد گرایش شناسایی و انتخاب مواد که در تاریخ ۱۳۹۲/۱۱/۲۱ از پایان نامه‌ی خود تحت عنوان بررسی اندرکنش فیلمهای اکسیدی دوگانه محبوس و ترکیبات بین فلزی غنی از آهن و تأثیر آن بر رفتار تربیولوژیکی آلیاژهای هیپویوتکنیک Al-Si با کسب درجه‌ی عالی دفاع کرده‌ام، شرعاً و قانوناً معهد می‌شوم:

۱. مطالب مندرج در این پایان نامه، حاصل تحقیق و مطالعه اینجانب بوده و در مواردی که از دستاوردهای علمی و پژوهشی دیگران اعم از پایان نامه، کتاب، مقاله و غیره استفاده کرده‌ام، با رعایت کامل امانت، مطابق مقررات، اقدام به ارجاع در متن و ذکر آن در فهرست منابع و مأخذ نموده‌ام.
۲. تمامی یا بخشی از این پایان نامه قبل از دریافت هیچ مدرک تحصیلی به سایر دانشگاه‌ها و موسسات آموزش عالی ارائه نشده است.
۳. مقالات مستخرج از این پایان نامه کاملاً حاصل کار اینجانب بوده و از هرگونه جعل داده و یا تغییر اطلاعات پرهیز کرده‌ام.
۴. از ارسال همزمان و یا تکراری مقالات مستخرج از این پایان نامه (با بیش از ۳ درصد همپوشانی) به مجلات و یا همایش‌های گوناگون خودداری نموده و می‌نمایم.
۵. کلیه حقوق مادی و معنوی حاصل از این پایان نامه متعلق به دانشگاه بین‌المللی امام خمینی (ره) بوده و معهد می‌شوم هرگونه بهره مندی و یا نشر دستاوردهای حاصل از این تحقیق اعم از چاپ کتاب، مقاله، ثبت اختراع و غیره (چه در زمان دانشجویی و یا بعد از فراغت از تحصیل) با کسب اجازه از استاد (استادان) راهنمای باشد.
۶. در صورت اثبات تخلف و نقض موارد پنجگانه فوق (در هر زمان) مدرک تحصیلی صادر شده توسط دانشگاه بین‌المللی امام خمینی (ره) از درجه اعتبار ساقط و اینجانب هیچگونه ادعایی نخواهم داشت.

نام و نام خانوادگی دانشجو

نوشین اکابری

امضاء



سوگندنامه دانش آموز ختگان کارشناسی ارشد دانشگاه بین المللی امام خمینی (ره)

به نام خدا

سپاس ایزد منان را که مرا مشمول الطاف خویش نمود که با طی مراحل تحصیل موفق به اخذ درجه کارشناسی ارشد شوم. به شکرانه این نعمت بزرگ الهی که با امکانات این مرز و بوم، فراهم و نزد اینجانب به امانت گذاشته شده است، در پیشگاه ملت ایران به کتاب آسمانی خود، قرآن کریم، سوگند یاد می کنم که :

- در سراسر زندگی حرفه ای، در راه اعتلای کشور ایران و جامعه بشری به نحو احسن قدم برداشته و در این راه از هیچ تلاشی دریغ ننمایم.
- در تمام فعالیت های تخصصی، رضای خدا را همراه با صداقت علمی و اجتماعی در نظر داشته و از موقعیت های به دست آمده در جهت رفع مشکلات جامعه استفاده کنم و در همه ای امور، منافع کشور را بر منافع فردی مقدم بدارم.
- همواره علم و دانش خود را به روز نگاه داشته و در اینکه مسؤولیت و تعهدات حرفه ای در حد توان سعی و تلاش خود را به کار گیرم.
- و اینک از خداوند علیم توفیق بندگی و پای بندی به مفاد این سوگندنامه را خواستارم و از او می خواهم که مرا در اینکه رسالت علمی و انسانی خویش موفق بدارد.

نام و نام خانوادگی دانشجو

نوشین اکابری

امضاء

مجوز بھرہ برداری از پایان نامہ / رسالہ

کلیه حقوق اعم از چاپ، تکثیر، نسخه برداری، ترجمه، اقتباس و ... از نتایج این پایان نامه برای دانشگاه بین المللی امام خمینی (ره) قزوین محفوظ است. بهره برداری از این پایان نامه / رساله در چهارچوب مقررات کتابخانه و با توجه به محدودیتی که توسط استاد راهنمای شرح زیر تعیین می شود، بلامانع است:

- بهره برداری از این پایان نامه/ رساله برای همگان بلا مانع است.
 - بهره برداری از این پایان نامه/ رساله با اخذ مجوز از استاد راهنمای، بلا مانع است.
 - بهره برداری از این پایان نامه/ رساله تا تاریخ ممنوع است.

استاد راهنما می تواند یکی از گزینه های بالا را انتخاب کند و مسئولین کتابخانه موظف به رعایت موارد تعیین شده می باشد.

نام استاد و یا اساتید راهنمای
رضا تقی آبادی
تاریخ: ۱۴۰۰/۰۷/۰۲
امضاء:

چکیده

در این تحقیق تأثیر فیلمهای اکسیدی دوگانه محبوس بر ریزساختار، خواص مکانیکی و خواص سایشی آلیاژ هپیوبوتکنیک Al-Si حاوی مقادیر مختلف ناخالصی آهن ($1/5$ ، $0/2$ و 2 درصد وزنی) در دو شرایط ریختگی و عملیات حرارتی شده مورد بررسی قرار گرفته است. نتایج حاصله نشان می‌دهد که با افزایش غلظت آهن تا حدود $1/5$ درصد وزنی، خواص مکانیکی بهبود می‌یابد به طوریکه میزان استحکام کششی نهایی و درصد ازدیاد طول این آلیاژ نسبت به آلیاژ پایه به ترتیب 7 و 57 درصد افزایش یافته است اما با تعjaوز از غلظت بحرانی به واسطه افزایش طول متوسط و کسر حجمی ترکیبات غنی از آهن، استحکام و به ویژه انعطاف پذیری آلیاژ افت می‌نماید. خواص سایشی آلیاژهای ریختگی با افزودن آهن به آلیاژ پایه به سبب شکل گیری رسوبات صفحه‌ای شکل بتا افت می‌نماید بگونه‌ایکه نرخ سایش آلیاژ حاوی $1/5$ درصد وزنی آهن تحت سه بار اعمالی 25 ، 50 و 75 نیوتن به ترتیب حدود 9 ، 13 و 10 درصد افزایش یافته است. در حضور فیلمهای اکسیدی دولایه محبوس در شرایط ریختگی، استحکام کششی نهایی، درصد ازدیاد طول آلیاژ پایه به ترتیب حدود 2 و 7 درصد افزایش و مقاومت سایشی آلیاژ در بار 75 نیوتن حدود 15 درصد کاهش می‌یابد. پس از عملیات حرارتی استحکام کششی نهایی آلیاژ حاوی $1/5$ درصد وزنی آهن حدود 24 درصد و مقاومت سایشی آن در بار 75 نیوتن حدود 36 درصد افزایش یافته است اما بهبود خواص مکانیکی و سایشی آلیاژ در نتیجه عملیات حرارتی در شرایطی که آلیاژ حاوی مقادیر قابل توجه از فیلمهای اکسیدی محبوس است به مراتب کمتر از شرایطی است که ریخته گری آلیاژ در شرایط مناسب و استاندارد صورت پذیرفته است. بر اساس مشاهدات علت این پدیده احتمالاً باز شدن فیلمهای اکسیدی دوگانه هنگام عملیات حرارتی است. افزودن آهن به آلیاژ عملیات حرارتی شده تا حدودی اثرات مخرب ناشی از حضور فیلمهای اکسیدی محبوس بر سایش آلیاژ را کاهش می‌دهد. افزودن $1/5$ درصد وزنی آهن به آلیاژ پایه متلاطم عملیات حرارتی شده نرخ سایش آن را در بار 75 نیوتن حدود 6 درصد کاهش می‌دهد.

واژه‌های کلیدی: Al-Si، فیلم اکسیدی دولایه محبوس، ترکیب بین فلزی، آهن، سایش

فهرست مطالب

صفحه

عنوان

فصل اول: مقدمه

۱-۱-مقدمه ۲

فصل دوم: مروری بر منابع مطالعاتی

۶-۱-تریبیولوزی و سایش آلیاژهای Al-Si ۶

۷-۲-بررسی رژیم های سایش لغزشی در آلیاژهای Al-Si ۷

۱۰-۲-بررسی تأثیر پارامترهای موثر بر میزان سایش آلیاژهای Al-Si ۱۰

۱۰-۳-۱-تأثیر بار بر میزان سایش ۱۰

۱۱-۳-۲-تأثیر مسافت لغزش بر میزان سایش ۱۱

۱۳-۳-۲-تأثیر غلظت و مورفوЛОژی سیلیسیم بر میزان سایش ۱۳

۱۴-۳-۲-تأثیر عناصر آلیاژی بر میزان سایش آلیاژهای Al-Si ۱۴

۱۵-۴-۲-شكل گیری ترکیبات بین فلزی در طول انجام ۱۵

۱۹-۴-۲-بهسازی ترکیبات بین فلزی غنی از آهن ۱۹

۲۱-۴-۲-اثر فازهای غنی از آهن بر خواص مکانیکی ۲۱

۲۳-۵-۲-فیلم های اکسیدی در آلیاژهای آلومینیوم ۲۳

۲۳-۵-۱-اکسیداسیون آلومینیوم ۲۳

۲۵-۵-۲-انواع فیلم های اکسیدی ۲۵

۲۷-۵-۳-چگونگی تشکیل فیلم های اکسیدی نو و حبس آن در مذاب ۲۷

۲۸-۵-۲-روشهای حذف فیلمهای اکسیدی دولایه ۲۸

۳۰-۶-۲-اندرکنش بین ترکیبات غنی از آهن و فیلم های اکسیدی ۳۰

فصل سوم: مواد و روش پژوهش

۳-۱-تهیه و آماده سازی مواد اولیه ۳۶

۳-۱-۱-عملیات ذوب و ریخته گری ۳۶

۳-۲-بررسی تأثیر عملیات حرارتی T_6 بر ریزساختار و خواص آلیاژ ۳۹

۳-۳-بررسی ساختار میکروسکوپی، آنالیز تصویری و آنالیز ترکیب شیمیایی فازها ۳۹

فهرست مطالب

۳۹.....	۱-۳-۳-بررسی ساختار میکروسکوپی و آنالیز ترکیب شیمیایی فازها
۴۰	۲-۳-۳-آنالیز تصویری
۴۱	۴-۳-بررسی خواص مکانیکی
۴۱	۴-۳-۱-آزمون کشش
۴۲	۴-۳-۲-سختی سنجی
۴۳	۴-۳-۵-آزمایشهای سایش
۴۳	۳-۵-۱-تهیه پینهای سایش
۴۳	۳-۵-۲-تهیه دیسکهای سایش
۴۴	۳-۵-۳-طراحی آزمایش سایش
۴۵	۳-۶-بررسی های میکروسکوپی
۴۵	۳-۶-۱-بررسی سطح سایش
۴۵	۳-۶-۲-بررسی نواحی زیر سطحی
۴۵	۳-۶-۳-بررسی ذرات ناشی از سایش (ذرات سایشی)
فصل چهارم: بحث و نتیجه گیری	
۴۸	۱-۴-تجزیه و تحلیل تأثیر متقابل ساختار میکروسکوپی و خواص مکانیکی
۵۰	۲-۴-بررسی و تجزیه و تحلیل خواص مکانیکی
۵۰	۲-۴-۱-خواص کششی آلیاژهای ریختگی
۵۸	۲-۴-۲-خواص کششی آلیاژهای عملیات حرارتی شده
۶۴	۲-۴-۳-سختی سنجی نمونه های ریختگی
۶۶	۲-۴-۴-سختی سنجی نمونه های عملیات حرارتی شده
۶۸	۳-۴-بررسی خواص سایشی در دمای محیط
۶۸	۳-۴-۱-خواص سایشی نمونه های ریختگی
۸۶	۳-۴-۲-خواص سایشی نمونه های عملیات حرارتی شده
فصل پنجم: نتایج	
۱۰۲.....	۱-۵-نتایج

فهرست مطالب

فصل ششم: مراجع

۱۰۶	۱-مراجع
۱۱۵	پیوست ۱
۱۱۸	چکیده انگلیسی

فهرست جداول

صفحه

عنوان

فصل اول: مقدمه

فصل دوم: مروری بر منابع مطالعاتی

جدول (۱-۲) مشخصات فیلم های اکسیدی [۸۲]..... ۲۵

جدول (۲-۲) خصوصیات فیلم های اکسیدی نو و کهنه [۸۴]..... ۲۷

فصل سوم: مواد و روش پژوهش

جدول (۱-۳) ترکیب شیمیایی آلیاژ مورد استفاده در تحقیق..... ۳۷

جدول (۲-۳) مشخصات آزمایش های سایش در این پژوهش ۴۵

فصل چهارم: بحث و نتیجه گیری

جدول (۱-۴) مقایسه پارامترهای ریزساختاری در شرایط ریختگی و عملیات حرارتی ۴۹

جدول (۲-۴) آنالیز EDS ترکیب بین فلزی نشان داده شده در شکل ۴-۴ ۵۴

فصل پنجم: نتایج

فصل ششم: مراجع

فهرست اشکال

صفحه

عنوان

فصل اول: مقدمه

فصل دوم: مروری بر منابع مطالعاتی

شکل (۱-۲) پیدایش ترک های زیر سطحی در فصل مشترک فاز ثانویه با زمینه (ورقه ای شدن) در آلیاژ Al-Si ۹
شکل (۲-۲) تأثیر بار بر میزان سایش آلیاژهای Al-Si، سرعت لغزش ۱ m/s و قطر پین ۸mm [۲۱] ۱۰
شکل (۳-۲) تأثیر مسافت بر حجم سایش آلیاژهای Al-Si، سرعت لغزش ۱m/s، بار اعمالی $19/6N$ و قطر پین ۸mm [۲۱] ۱۱
شکل (۴-۲) تأثیر مسافت بر حجم سایش آلیاژهای $60/61$ با قطر پین ۸mm (الف) تغییرات خطی حجم سایش با مسافت لغزش در بارهای کم (سایش خفیف)، (ب) تغییر ناگهانی حجم سایش در بار $N/8$ (انتقال رژیم سایش از خفیف به شدید) [۲۱] ۱۲
شکل (۵-۲) تأثیر میزان سیلیسیم بر میزان سایش آلیاژهای Al-Si، بار اعمالی $19/6N$ و قطر پین ۸mm [۲۱] ۱۳
شکل (۶-۲) گوشه آلومینیوم در نمودار سه تایی Al-Fe-Si [۴۴] ۱۵
شکل (۷-۲) تصویر ترکیبات بین فلزی مختلف موجود در آلیاژ Al-Si-Mg-Fe (الف) صفحات α -Al ₈ Fe ₇ Si و (ب) فاز Π با مورفوЛОژی حرروف چینی [۵۱] ۱۷
شکل (۸-۲) تصویر SEM از سطح یک فیلم اکسیدی (الف) کهنه، (ب) نو [۸۳] ۲۵
شکل (۹-۲) چگونگی تشکیل و حبس فیلمهای اکسیدی در مذاب [۸۶] ۲۷
شکل (۱۰-۲) شماتیک دو قالب (الف) قالب با فیلتر گذاشته شده در راهگاه آن و (ب) قالب بدون فیلتر [۹۴] ۲۹
شکل (۱۱-۲) چگونگی عبور فلز مذاب از فیلتر سرامیکی قرار داده شده در راهگاه [۹۴] ۲۹
شکل (۱۲-۲) تصاویر الکترونی ثانویه گرفته شده از ذرات آهن درون فیلمهای اکسیدی [۹۷] ۳۱
شکل (۱۳-۲) (الف) رسوب فاز β -Fe در آلیاژ $Al-11/6Si-0/37Mg$ ، در حالتی که سعی بر ایجاد کمترین میزان فیلم اکسیدی دولایه شده و (ب) رسوب فاز β -Fe به همراه عیب ترک مانندی در میان خود در همان آلیاژ و در حالت ریخته گری با تلاطم زیاد [۱۰۰] ۳۱
شکل (۱۴-۲) تصاویر الکترون ثانویه گرفته شده در شکل (الف) ترکها در زمینه به همراه فاز آهن آلفا و سلیسیم دیده می شوند. شکلهای (ب) (ه) تصاویر گرفته شده با بزرگنمایی بیشتر از شکل (الف) است.
شکل (و) تصویر با بزرگنمایی بیشتر از ترک پایینی را نشان می دهد [۹۷] ۳۲

فهرست اشکال

۳۴	شكل(۱۵-۲) تصویر SEM فاز غنی از آهن بتا به همراه ترک مرکزی [۹۷]
۳۴	شكل(۱۶-۲) تصاویر SEM از ترک همراه با فازهای غنی از آهن [۹۷]
۳۴	شكل(۱۷-۲) (الف) ترک در سلیسیم و فاز آهن بتا و زمینه و تصاویر (ب و ج و د) تصاویر SEM از ترک [۹۷]

فصل سوم: مواد و روش پژوهش

۳۷	شكل(۱-۳) شماتیکی از سیستم ایجاد کننده تلاطم در مذاب
۳۸	شكل(۲-۳) قالب چدنی نمونه آزمایش کشش با ابعاد مربوطه
۴۰	شكل(۳-۳) روش اندازه گیری قطر متوسط ذرات بین فلزی با اشکال نامنظم
۴۱	شكل(۴-۳) ابعاد نهایی نمونه تست کشش [۱۰۷]
۴۲	شكل(۵-۳) شماتیکی از چگونگی تماس پین با دیسک

فصل چهارم: بحث و نتیجه گیری

۵۰	شكل (۱-۴) نمودار تغییرات استحکام کششی نهایی آلیاژهای ریختگی حاوی مقادیر مختلف آهن در دو شرایط بدون تلاطم و متلاطم.....
۵۱	شكل (۲-۴) نمودار تغییرات درصد ازدیاد طول آلیاژهای ریختگی حاوی مقادیر مختلف آهن در دو شرایط بدون تلاطم و متلاطم.....
۵۲	شكل (۳-۴) تصویر SEM از سطح شکست آلیاژ پایه بدون تلاطم نشان دهنده شکست از تیغه های سلیسیم یوتکنیک
۵۴	شكل (۴-۴) تصویر SEM سطح شکست آلیاژ ریختگی حاوی ۲ درصد وزنی آهن نشان دهنده اشعه ترکها از درون ذرات فاز بتا.....
۵۵	شكل (۵-۴) تصویر SEM از ریزساختار آلیاژ ریختگی حاوی ۲درصد وزنی آهن ترکیبات بتا با فلش نشان داده شده اند.....
۵۶	شكل (۶-۴) تصویر SEM از سطح شکست آلیاژ حاوی ۱/۵ درصد وزنی آهن، (الف) بدون تلاطم و ب)متلاطم
۵۷	شكل (۷-۴) ریزساختار مربوط به آلیاژ ریختگی ۱/۵ درصد وزنی آهن در شرایط ایجاد تلاطم سطحی نشان دهنده تشکیل فاز غنی از آهن در امتداد فیلم اکسیدی
۵۸	شكل (۸-۴) نمودار تغییرات استحکام کششی نهایی آلیاژ عملیات حرارتی شده حاوی مقادیر مختلف آهن در دو شرایط بدون تلاطم و متلاطم

فهرست اشکال

شکل (۹-۴) نمودار تغییرات درصد ازدیاد طول آلیاژ عملیات حرارتی شده حاوی مقادیر مختلف آهن در دو شرایط بدون تلاطم و متلاطم.....	۵۹
شکل (۱۰-۴) کروی شدن ذرات سیلیسیم یوتکنیک در اثر انجام عملیات حرارتی در آلیاژ پایه	۶۰
شکل (۱۱-۴) خرد شدن ذرات بتا در اثر عملیات حرارتی در آلیاژ حاوی ۲ درصد وزنی آهن.....	۶۱
شکل (۱۲-۴) تصویر SEM سطح شکست آلیاژ پایه عملیات حرارتی شده حاوی فیلم اکسیدی	۶۲
شکل (۱۳-۴) تصویر SEM سطح شکست آلیاژ حاوی ۱/۵ درصد وزنی آهن در شرایط عملیات حرارتی شده (الف) بدون تلاطم، (ب) متلاطم. وجود شکاف بزرگ روی سطح شکست ناشی از ایجاد تلاطم و اختلاط لایه های فیلمهای اکسیدی به درون مذاب.....	۶۳
شکل (۱۴-۴) تأثیر مقادیر مختلف آهن بر سختی آلیاژهای ریختگی دوتایی Al-Si در دو شرایط بدون تلاطم و متلاطم.....	۶۴
شکل (۱۵-۴) تأثیر مقادیر مختلف آهن بر سختی آلیاژهای دوتایی Al-Si عملیات حرارتی شده در دو شرایط بدون تلاطم و متلاطم.....	۶۶
شکل (۱۶-۴) تغییرات نرخ سایش نمونه های ریختگی بر حسب بار اعمالی در شرایط بدون تلاطم و متلاطم.....	۶۹
شکل (۱۷-۴) گوشه غنی از آلومینیم دیاگرام سه تایی [۱۱۷] Al-Fe-Si	۷۰
شکل (۱۸-۴) تصویر SEM سطح پین آلیاژ (الف) Al-۹/۵Si-۰/۲Fe و (ب) Al-۹/۵Si-۱/۵Fe پس از سایش به مسافت ۱۰۰۰ متر در دمای محیط، سرعت $0/13 \text{ m/s}$ و نیروی اعمالی ۵۰ نیوتن.....	۷۱
شکل (۱۹-۴) تصویر SEM زیر سطح سایش آلیاژهای ریختگی بدون تلاطم (الف) Al-۹/۵Si-۰/۲Fe و (ب) Al-۹/۵Si-۱/۵Fe پس از سایش به مسافت ۱۰۰۰ متر در دمای محیط، سرعت لغزش $0/13 \text{ m/s}$ و بار اعمالی ۵۰ نیوتن.....	۷۲
شکل (۲۰-۴) نمودار تغییرات ضریب اصطکاک بر حسب مسافت آلیاژهای ریختگی بدون تلاطم (الف) Al-۹/۵Si-۰/۲Fe و (ب) Al-۹/۵Si-۱/۵Fe	۷۳
شکل (۲۱-۴) تصویر SEM ذرات سایشی آلیاژهای ریختگی بدون تلاطم (الف) Al-۹/۵Si-۰/۲Fe و (ب) Al-۹/۵Fe پس از سایش به مسافت ۱۰۰۰ متر در دمای محیط، سرعت لغزش $0/13 \text{ m/s}$ و بار اعمالی ۵۰ نیوتن.....	۷۵
شکل (۲۲-۴) شماتیکی از چگونگی تاثیر فیلمهای اکسیدی دوگانه بر سایش	۷۷

فهرست اشکال

شکل (۲۳-۴) تصویر SEM سطح پین آلیاژ پایه الف) بدون فیلم اکسیدی، ب) حاوی فیلم اکسیدی پس از سایش به مسافت ۱۰۰۰ متر در دمای محیط، سرعت $0/13\text{ m/s}$ و نیروی اعمالی ۵۰ نیوتون.....	۷۸.....
شکل (۲۴-۴) تصویر SEM سطح پین آلیاژ الف) Al-۹/۵Si-۰/۲Fe، ب) Al-۹/۵Si-۱/۵Fe و ج) Al-۹/۵Si-۲Fe پس از سایش به مسافت ۱۰۰۰ متر در دمای محیط، سرعت $0/13\text{ m/s}$ و نیروی اعمالی ۵۰ نیوتون.....	۸۰.....
شکل (۲۵-۴) تصویر SEM زیرسطح سایش آلیاژهای ریختگی متلاطم الف) Al-۹/۵Si-۰/۲Fe ب) Al-۹/۵Si-۲Fe و ج) Al-۹/۵Si-۱/۵Fe پس از سایش به مسافت ۱۰۰۰ متر در دمای محیط، سرعت $0/13\text{ m/s}$ و نیروی اعمالی ۵۰ نیوتون.....	۸۲.....
شکل (۲۶-۴) نمودار تغییرات ضریب اصطکاک بر حسب مسافت آلیاژهای ریختگی متلاطم الف) Al-۹/۵Si-۰/۲Fe، ب) Al-۹/۵Si-۱/۵Fe و ج) Al-۹/۵Si-۰/۲Fe	۸۴.....
شکل (۲۷-۴) تصویر SEM سطح پین آلیاژ متلاطم ریختگی الف) Al-۹/۵Si-۰/۲Fe ب) Al-۹/۵Si-۱/۵Fe و ج) Al-۹/۵Si-۰/۲Fe پس از سایش به مسافت ۱۰۰۰ متر در دمای محیط، سرعت $0/13\text{ m/s}$ و نیروی اعمالی ۵۰ نیوتون.....	۸۵.....
شکل (۲۸-۴) تغییرات نرخ سایش نمونه های عملیات حرارتی شده بر حسب بار اعمالی در شرایط بدون متلاطم و متلاطم.....	۸۶.....
شکل (۲۹-۴) تصویر SEM سطح پین آلیاژ Al-۹/۵Si-۰/۲Fe، الف) قبل و ب) بعد از عملیات حرارتی پس از سایش به مسافت ۱۰۰۰ متر در دمای محیط، سرعت $0/13\text{ m/s}$ و نیروی اعمالی ۵۰ نیوتون.....	۸۷.....
شکل (۳۰-۴) انحلال و خردشدن فاز بتا و کروی شدن ذرات سیلیسیم در نمونه حاوی $1/5$ درصد وزنی آهن الف) قبل و ب) بعد از عملیات حرارتی.....	۸۸.....
شکل (۳۱-۴) تصویر SEM سطح پین آلیاژ Al-۹/۵Si-۱/۵Fe عملیات حرارتی شده پس از سایش به مسافت ۱۰۰۰ متر در دمای محیط، سرعت $0/13\text{ m/s}$ و نیروی اعمالی ۵۰ نیوتون.....	۸۹.....
شکل (۳۲-۴) تصویر SEM زیرسطح سایش آلیاژ پایه الف) قبل و ب) بعد از عملیات حرارتی پس از سایش به مسافت ۱۰۰۰ متر در دمای محیط، سرعت $0/13\text{ m/s}$ و نیروی اعمالی ۵۰ نیوتون	۸۹.....
شکل (۳۳-۴) نمودار تغییرات ضریب اصطکاک بر حسب مسافت آلیاژهای عملیات حرارتی شده بدون متلاطم الف) Al-۹/۵Si-۰/۲Fe و ب) Al-۹/۵Si-۱/۵Fe	۹۰.....
شکل (۳۴-۴) تصویر SEM ذرات سایشی آلیاژ بدون متلاطم عملیات حرارتی شده الف) Al-۹/۵Si-۰/۲Fe و ب) Al-۹/۵Si-۱/۵Fe پس از سایش به مسافت ۱۰۰۰ متر در دمای محیط، سرعت لغزش $0/13\text{ m/s}$ و بار اعمالی ۵۰ نیوتون	۹۱.....

فهرست اشکال

- شکل (۳۵-۴) باز شدن فیلمهای دوگانه محبوس در نمونه حاوی ۲ درصد وزنی آهن ۹۲
- شکل (۳۶-۴) تصویر SEM سطح پین آلیاژ پایه عملیات حرارتی شده (الف) بدون متلاطم، مسافت لغزش ۱۰۰۰ متر، دمای محیط، سرعت $0/13 \text{ m/s}$ و نیروی اعمالی ۵۰ نیوتون ۹۳
- شکل (۳۷-۴) تصویر SEM سطح پین آلیاژ متلاطم عملیات حرارتی شده (الف) Al-9/5Si-0/2Fe ، (ب) Al-9/5Si-1/5Fe و (ج) Al-9/5Si-1/5Fe پس از سایش به مسافت ۱۰۰۰ متر در دمای محیط، سرعت $0/13 \text{ m/s}$ و نیروی اعمالی ۵۰ نیوتون ۹۴
- شکل (۳۸-۴) تصویر SEM زیر سطح سایش آلیاژ متلاطم عملیات حرارتی شده (الف) Al-9/5Si-0/2Fe ، (ب) Al-9/5Si-1/5Fe و (ج) Al-9/5Si-2Fe پس از سایش به مسافت ۱۰۰۰ متر در دمای محیط، سرعت لغزش $0/13 \text{ m/s}$ و بار اعمالی ۵۰ نیوتون ۹۶
- شکل (۳۹-۴) نمودار تغییرات ضریب اصطکاک بر حسب مسافت آلیاژهای عملیات حرارتی شده متلاطم (الف) Al-9/5Si-0/2Fe و (ب) Al-9/5Si-1/5Fe و (ج) Al-9/5Si-2Fe ۹۸
- شکل (۴۰-۴) تصویر SEM زیر سطح سایش آلیاژ متلاطم عملیات حرارتی شده (الف) Al-9/5Si-0/2Fe ، (ب) Al-9/5Si-1/5Fe و (ج) Al-9/5Si-2Fe پس از سایش به مسافت ۱۰۰۰ متر در دمای محیط، سرعت لغزش $0/13 \text{ m/s}$ و بار اعمالی ۵۰ نیوتون ۱۰۰

فصل پنجم: نتایج

فصل ششم: مراجع

فصل اول

مقدمہ

۱-۱-مقدمه

آلیاژهای تجاري Al-Si-Mg از خواص مناسبی همچون سیالیت و قابلیت ریخته گری عالي، مقاومت به سایش و خوردگی مناسب و استحکام ويژه بالا پس از عملیات حرارتی برخوردار می باشد. خواص مکانيکي و تریبولوژیکي اين آلیاژها متأثر از عيوب ساختاري است. ترکیبات بین فلزی غنی از آهن، تخلخل های هيدروژني و فيلم های اکسیدی محبوس از جمله مهمترین عيوب ساختاري اين آلیاژها هستند که اثرات منفي قابل توجهی بر روی خواص آن ها دارند. آهن مضرterین و متداول ترین ناخالصی موجود در آلیاژهای آلومینیوم است که اغلب به صورت ترکیبات بین فلزی غنی از آهن در ریزساختار رسوب می کند. مورفولوژی فازهای غنی از آهن به خصوص فاز صفحه ای شکل β -Al₅FeSi، نقش مهمی در کاهش خواص مکانيکي قطعات ریختگی ايفا می کند. از سوی ديگر يکی از دلائل افت خواص قطعات ریختگی آلومینیومی، عيوب فيلم اکسیدی دولایه است که باعث تضعیف خواص مکانيکي و کاهش قابلیت اطمینان به قطعات می شود. اين عيوب هنگامی ایجاد می گردد که لایه اکسیدی موجود بر سطح مذاب در اثر تلاطم ناشی از بارريزي یا جابجايی مذاب، بر روی خود برگشته و در حالی که لایه اي از هوا را در خود محبوس می نماید وارد مذاب گردد. در اين شرایط فيلم محبوس همانند يك ترک در قطعه آلومینیومی عمل نموده و ضمن کاهش خواص قطعه، می تواند به عنوان مکانی برای تشکيل ساير عيوب همچون تخلخل هيدروژني و فازهای غنی از آهن عمل نماید.

با توجه به اهمیت موضوع، تاکنون پژوهشهاي متعددی در زمینه تأثير حضور فيلمهای اکسیدی دولایه محبوس بر خواص مکانيکي آلیاژهای ریختگی Al-Si انجام گرفته است. با اين حال تاکنون تحقيق سیستماتیکی در زمینه تأثير فيلمهای محبوس بر خواص تریبولوژیکی اين آلیاژها صورت نپذيرفته است. در این پژوهش تأثير فيلمهای اکسیدی دولایه ناشی از ایجاد تلاطم سطحی در مذاب بر ریزساختار و خواص تریبولوژیکی يك آلیاژ Al-9/5Si-Mg حاوی مقادیر مختلف آهن در شرایط ریختگی و عملیات حرارتی به طور جامع مورد مطالعه قرار گرفته است.